

(2) имеет вид

$$a = a_n \left( \sin \frac{3}{2} a_0^{-1} t \right)^{2/3}, \quad a_0 = \left\{ \frac{8\pi G}{3} |\varepsilon| \right\}^{-1/2}.$$

Максимальный гиперболический радиус  $n$ -го цикла  $a_n$  определяется из условия  $\rho(a_n) = |\varepsilon|$  и пропорционален  $\nu^{|n|/3} \rightarrow \infty$  при  $|n| \rightarrow \infty$ . Продолжительность каждого цикла  $T_A = 2\pi a_0/3$ . Плотности барионов, лептонов и энтропии в соответствующие моменты каждого цикла не зависят от  $|n|$ . Более близкие к  $\Phi$  циклы описываются уравнением (2) с пренебрежением  $\rho$  (за исключением относительно малых интервалов времени в начале и в конце каждого цикла). Пренебрегая  $\rho$ , имеем  $a = a_0 \sin(t/a_0)$ , продолжительность циклов  $T_n = \pi a_0$ . Переход от начального режима к асимптотическому определяется условием  $\rho(a_0) = |\varepsilon|$ , и произойдет при номере цикла  $n_2 > n_1$  (в предположении, что сейчас  $\rho < \rho_k$ ). Однако барионная асимметрия  $n_B/n_\gamma$  уже имеет асимптотическое значение, так как она определяется начальной стадией процесса расширения Вселенной.

Устойчивость описанной картины последовательных коллапсов не исследована. В работе обсуждены "парадокс обратимости", гипотеза космологической СРТ-симметрии и варианты многолистной модели.

Я выражаю благодарность всем, принимавшим участие в обсуждении предварительных вариантов этой работы, и моей жене Е.Г. Боннэр за помощь.

#### СПИСОК ЛИТЕРАТУРЫ

1. Сахаров А.Д.// Письма ЖЭТФ. 1967. Т. 5. С. 32.
2. Сахаров А.Д.// ЖЭТФ. 1979. Т. 76. С. 1172.

Статья поступила 31.01.80 г.,  
после переработки 24.04.80 г.

524.88

## МНОГОЛИСТНЫЕ МОДЕЛИ ВСЕЛЕННОЙ

*А.Д. Сахаров [24 марта 1982 г., Горький]*

(Физический институт им. П.Н. Лебедева АН СССР)

(ЖЭТФ. 1982. Т. 83, вып. 4(10). С. 1233 — 1240)

*Посвящается памяти доктора Филиппа Хандлера (1)*

Описаны различные варианты пульсирующей (многолистной) модели Вселенной, в частности, с поворотом стрелы (направления) времени; указано, что точка поворота может быть сингулярной или соответствовать максимальному космологическому расширению. Обсуждаются выравнивание неоднородностей и рост энтропии, обусловленные распадом барионов и процессы с участием черных дыр. Высказана гипотеза об отсутствии черных дыр в цикле космологического расширения — сжатия, предыдущем к нашему, и предположение, что такие исключительные циклы периодически повторяются.

**1. Введение.** Пульсирующие (осциллирующие или, как я предпочитаю их называть "многолистные") модели Вселенной издавна привлекают вни-

мание. С ними связываются надежды, что в природе, быть может, осуществляется внутренне привлекательная для многих осциллирующая картина Вселенной с бесконечным повторением в прошлом и будущем циклов космологического расширения и сжатия. В монографии Зельдовича и Новикова [1] обсуждается вариант с гиперсферической пространственной геометрией (в общепринятом недавно еще предположении сохранения барионного заряда). Авторы монографии указывают, что такая модель допускает при экстраполяции в прошлое лишь конечное число циклов, и рассматривают данное свойство модели как разочаровывающее. Ранее [2] автор выдвинул гипотезы, имеющие отношение к этому вопросу. Это, во-первых, гипотеза поворота стрелы (направления) времени и ее частная форма — гипотеза космологической СРТ-симметрии (подробней см. [3]). Из СРТ-симметрии следует обращение в нуль средней плотности любого сохраняющегося заряда. Для объяснения наблюдаемой барионной асимметрии Вселенной автор предположил несохранение барионного заряда (вторая гипотеза). Ранее на возможное несохранение барионного заряда указал Вайнберг [4], исходящий из факта отсутствия соответствующего калибровочного поля.

В предыдущих работах [3,5, 6] автор рассмотрел открытые многолистные модели, описывающие с учетом этих идей неограниченное повторение циклов в прошлом и будущем. Было указано также [3], что многолистные модели естественно объясняют чрезвычайно малую (или нулевую) среднюю пространственную кривизну Вселенной, отнесенную к плотности энтропии в степени  $2/3$ . Конкретная форма гипотезы [5] здесь не рассматривается. В [7] Вайнберг обсуждает закрытую осциллирующую модель.

Главная цель данной работы — более систематическое описание различных мыслимых вариантов (п. 2). Весьма критичными для оценки модели являются вопросы образования неоднородностей и их выравнивание. В п. 3 рассматривается выравнивание неоднородностей в результате распада барионов. В п. 4 рассматриваются процессы образования и слияния черных дыр, возможно, представляющие собой трудность осциллирующих моделей. В качестве одного из возможных вариантов преодоления этой трудности высказана гипотеза об исключительном характере предыдущего цикла космологического расширения — сжатия, в котором не происходило образования черных дыр, и поэтому симметрия сингулярности нашего цикла достаточно высокая и не приводит к противоречиям с наблюдениями.

Таблица вариантов

Модель	Пространственная модель	Космологическая постоянная	Поворот стрелы времени	Начальная энтропия в точке поворота стрелы времени
I	$R = 0$	$\Lambda < 0$	Нет	—
II	$R > 0$	$\Lambda = 0$	Есть	$S_0 > 0$
III	$R < 0$	$\Lambda < 0$	Есть	$S_0 = 0$

**2. Описание моделей.** В таблице сведены характеристики мыслимых моделей, которые в определенном смысле являются минимальными по исполь-

зованным предположениям. Модели отличаются средней пространственной кривизной  $R(0, +, -)$ , т.е. это "плоская", закрытая (гиперсферическая) и "гиперболическая" модели. Космологическая постоянная  $\Lambda$  положена равной нулю для закрытой модели и положена равной очень малой отрицательной величине для обеих открытых моделей. Это — минимальные предположения для этих моделей, приводящие в каждом цикле к смене космологического расширения сжатием. Также "минимальны" предположения о повороте стрелы времени и о начальной энтропии. Предположение о наличии точки поворота стрелы времени необходимо в вариантах с конечной пространственной кривизной для возможности неограниченной экстраполяции в прошлое.

Поворот стрелы времени (ПСВ) в моделях II, III может соответствовать либо моменту фридмановской сингулярности [2, 3], либо моменту максимального космологического расширения. Подчеркнем, что в момент ПСВ не предполагается нарушения динамических законов физики. Этот момент выделен только тем, что это состояние (определенное на сингулярной или не-сингулярной гиперповерхностях), в котором отсутствуют Т-неинвариантные статистические корреляции. Именно поэтому энтропия в этот момент минимальна. В гиперболическом варианте предполагаем, что в точке поворота стрелы времени энтропия равна нулю (и уже поэтому минимальна, так как всегда  $S \geq 0$ ); частицы и энтропия возникают в этом варианте лишь при удалении от точки ПСВ в прошлое и в будущее, генерируясь переменным гравитационным полем. Заметим, что в несингулярном варианте ПСВ невозможна точная СРТ-симметрия, так как нет  $P$ -отражения.

Кинематика моделей определяется уравнением Эйнштейна

$$R_0^0 - \frac{1}{2} R = 8\pi G T_0^0 + \Lambda. \quad (1)$$

Скорость света  $c = 1$  во всех формулах, иногда также положено  $\hbar = 1$ . Другие обозначения:  $\lambda = -\Lambda/8\pi G = -\epsilon_0$ , где  $\epsilon_0 < 0$  — плотность энергии вакуума при нулевой кривизне,  $a$  — радиус кривизны пространственной гиперсферы (модель II),  $b$  — гиперболический радиус кривизны пространства Лобачевского (модель III),  $c$  — пространственный масштаб (модель I),  $\epsilon$  — плотность энергии вещества. Для удобства выпишем (1) в виде

$$\dot{c}^2/c^2 = 8/3\pi \cdot G(\epsilon - \lambda), \quad (1,I)$$

$$\dot{a}^2/a^2 = 8/3\pi \cdot G\epsilon - 1/a^2, \quad (1,II)$$

$$\dot{b}^2/b^2 = 8/3\pi \cdot G(\epsilon - \lambda) + 1/b^2. \quad (1,III)$$

Максимальный радиус, достигаемый в ходе каждого цикла, возрастает при удалении от точки поворота;  $a_{\max}, b_{\max} \rightarrow \infty$  при  $|n| \rightarrow \infty$ , где  $n$  — номер цикла, принимающий значения  $\pm 1, \pm 2, \pm 3 \dots$  (поворот стрелы времени в сингулярности) или  $0, \pm 1, \pm 2, \pm 3 \dots$  (поворот при максимальном расширении). Возрастание с ростом  $n$  энтропии и  $c_{\max}$  в модели I не имеет физического смысла, так как оно может быть устранено переопределением масш-

таба. Основные характеристики поэтому в модели I повторяются от цикла к циклу.

Важный механизм роста энтропии в многолистных моделях связан с тем, что частицы, образующиеся при распаде барионов (если он успевает происходить), распределяются в большом объеме и обладают поэтому очень низкой фазовой плотностью<sup>(2)</sup> •  $\nu = \tilde{n}/\tilde{p}^3 \sim 10^{-86}$ . Равновесное черное излучение имеет  $\nu = 10^{-2}$ , для высокотемпературной равновесной стадии Вселенной считаем с учетом числа сортов частиц  $\nu \sim 1$ . Установление равновесия сопровождается увеличением числа частиц и энтропии в  $\nu^{-1/4}$  раз; вероятно, оно происходит благодаря гравитационному взаимодействию частиц, обладающих очень высокой энергией (много больше планковской энергии  $\sim 10^{19}$  ГэВ).

Длительность цикла для модели II пропорциональна  $a_{\max}$  и возрастает с ростом  $|n|$ :

$$a_{\max} \sim S^{2/3}, \quad T = 2a_{\max} \quad \text{при} \quad p = \epsilon/3,$$

$$\dot{a}_{\max} \sim S, \quad T = \pi a_{\max} \quad \text{при} \quad p = 0.$$

Длительность цикла для моделей I, III определяется величиной  $\lambda$ . Для модели I

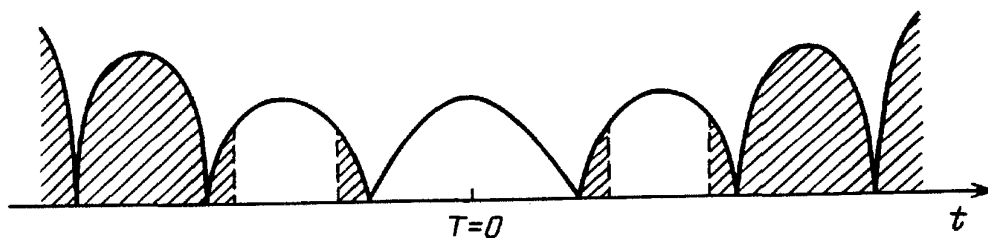
$$T = \frac{\pi}{2} \left( \frac{3}{8\pi G\lambda} \right)^{1/2} \quad \text{при} \quad \epsilon = \lambda \left( \frac{c_{\max}}{c} \right)^4,$$

$$T = \frac{2\pi}{3} \left( \frac{3}{8\pi G\lambda} \right)^{1/2} \quad \text{при} \quad \epsilon = \lambda \left( \frac{c_{\max}}{c} \right)^3.$$

Для модели III имеем те же соотношения асимптотически при  $|n| \rightarrow \infty$ , а в начальных циклах имеем

$$T = \pi \left( \frac{3}{8\pi G\lambda} \right)^{1/2}, \quad b_{\max} \approx \left( \frac{3}{8\pi G\lambda} \right)^{1/2} \approx \text{const.}$$

На протяжении этих первых циклов  $\epsilon \approx \epsilon_{\text{кр}}$  лишь в начальный и, возможно, конечный периоды каждого цикла, длительность которых  $\tau_{\text{кр}} \sim GM_b$ , где  $M_b$  — суммарная масса барионов, пропорциональная энтропии  $S_b$ , индекс  $b$  указывает, что  $M_b$  и  $S_b$  относятся к объему  $b^3$ ;  $M_b \approx 10^{-9} S_b M_p$ . Во время периода  $t_{\text{кр}}$  постоянная Хаббла имеет критическое значение, затем имеем дли-



тельное время  $H \approx \text{const}$ . Для поздних циклов  $b_{\max}$  растёт с  $|n| \rightarrow \infty$  как  $S_b^{1/3}$ .

На рисунке схематически изображена зависимость величины  $b$  от времени для модели III,  $t = 0$  — точка поворота стрелы времени; вариант с поворотом в момент максимального расширения. Штриховкой отмечены периоды, которые являются не вакуумными. Циклы с сильно различными номерами условно изображены рядом. Рисунок для модели II с небольшими различиями аналогичен данному рисунку, для модели I с учетом переопределения масштаба циклы просто повторяются.

**3. Выравнивание при распаде барионов.** Предположим, что длительность цикла  $T \gg \tau$  — времени распада барионов. В случае модели II длительность цикла неограниченно возрастает при  $|n| \rightarrow \infty$  и условие  $T \gg \tau$  выполняется. В моделях I и III необходимо предположить чрезвычайно малое значение  $\lambda$ , см., однако, п. 5. Покажем, что вследствие распада барионов имеет место существенное выравнивание неоднородностей. Рассмотрим развитие во времени малой неоднородности плотности энергии релятивистских частиц с изотропным распределением по скоростям в начальный момент в каждой точке. Для определенности выпишем формулы для гиперсферической модели II. Разложим возмущение по гиперсферическим функциям  $Y$ , имеющим три индекса  $J, l, m$  и зависящим от трех угловых переменных гиперсферы  $\psi, \vartheta, \varphi$  — собирательное название  $\Omega$ :

$$\varepsilon = \varepsilon_0(t) [1 + \sum Z_{Jlm}(t) Y_{Jlm}(\Omega)];$$

$$\Delta Y_{Jlm} + \frac{J(J+2)}{a^2} Y = 0, \quad \int d\Omega Y^2 = 1. \quad (2)$$

Введем также функцию, нормированную к единице в точке  $\psi = 0$  (полином Гегенбауэра от аргумента  $\cos \psi$ ):

$$\xi_J(\psi) = \frac{Y_{J00}(\psi)}{Y_{J00}(0)} = \frac{\sin(J+1)\psi}{(J+1)\sin \psi}. \quad (3)$$

Наряду с физическим временем используем “угловое время”:

$$\eta(t) = \int_0^t \frac{dt}{a(t)};$$

$t = 0$  — тут момент начала данного цикла. Обозначим

$$\eta_\tau = \int_0^\tau \frac{dt}{a(t)}.$$

При  $p = 0$  величина  $\eta_\tau = 2\pi$ , при  $p = \varepsilon/3$  имеем  $\eta_\tau = \pi$ .

Пусть в момент  $\eta_1$  возникли изотропные источники релятивистских частиц с распределением

$$\Delta\varepsilon/\varepsilon_0 = Z_{Jlm}(\eta_1) Y_{Jlm},$$

$\varepsilon_0$  — плотность энергии равномерно распределенных релятивистских частиц. В пренебрежении гравитационной неустойчивостью возмущений релятивистских частиц (что законно для достаточно больших значений  $J\eta$  и  $J(\eta_T - \eta)$ ) изменение  $Z_{Jlm}$  в функции  $\eta$  описывается как

$$Z_{Jlm}(\eta) = Z_{Jlm}(\eta_1)\xi_J(\eta - \eta_1). \quad (4)$$

Для доказательства заметим, что зависимость  $Z_{Jlm}(\eta)$  при заданном  $J$  одинакова для любых значений индексов  $l, m$ . Поэтому можно ограничиться рассмотрением сферически-симметричного случая  $Z_{J00}$ . Рассмотрим изменение возмущения в полюсной точке  $\psi = 0$ . В момент  $\eta$  в эту точку прилетают частицы, которые в начальный момент  $\eta_1$  находились на сферической поверхности  $\psi = \eta - \eta_1$ . В полюсной точке возникает такое же относительное возмущение плотности энергии, какое было в момент  $\eta_1$  на этой поверхности. Отсюда следует формула (4) для этого, а значит и для общего случая.

В гиперсферическом случае при  $\eta - \eta_1 = \pi$  или  $2\pi$  имеет место фокусировка частиц, обошедших гиперсферу:  $|\xi(\pi)|$  и  $\xi(2\pi) = 1$ . При других значениях аргумента  $|\xi| < 1$ .

Формулы легко распространяются на случаи  $R = 0$  и  $R < 0$ . Обозначая в первом случае

$$\eta = \int \frac{dt}{c}, \quad J = kc$$

( $k$  — волновой вектор), имеем

$$\xi_J = \frac{\sin J(\eta - \eta_1)}{J(\eta - \eta_1)}.$$

В гиперболическом случае аналогично

$$\xi_J = \frac{\sin J(\eta - \eta_1)}{J \operatorname{sh}(\eta - \eta_1)}.$$

Обозначим далее  $\omega = \tau/a(\tau)$ . Напомним, что наше рассмотрение относится к случаю  $\omega J > 1$ , при этом существенно произвести усреднение по моменту распада  $\eta_1$ . Рассмотрим возмущение  $\sim Y_j$  т.е. с характерным размером в момент  $\tau$

$$a(\tau)/J = L(\tau).$$

Предполагаем также, что  $\tau < a_{\max}$ ; в этом случае естественно рассматривать неоднородности, меняющиеся по обычному для пылевой материи закону гравитационной неустойчивости:

$$\Delta\rho/\rho = \delta(t/\tau)^{2/3}, \quad \rho \sim e^{-t/\tau}/t^2$$

(эти формулы носят приближенный характер при  $t \sim \tau$ ). Имеем

$$\frac{\Delta \varepsilon}{\varepsilon} \Big|_{\eta_T} \sim \frac{\delta}{\tau} \int_0^{\infty} dt e^{-t/\tau} \left( \frac{t}{\tau} \right)^{2/3} \frac{a(t) \sin J(\eta_T - \eta_1)}{a(\tau) J \sin(\eta_T - \eta_1)}.$$

Перейдя к интегрированию по  $\eta_1$  и учитывая

$$\lim_{c/J^3 \rightarrow 0} J^7 \int_0^{\infty} d\eta \eta^6 e^{-c\eta^3} \sin(J\eta + \varphi) = -6! \cos \varphi,$$

имеем

$$\frac{\Delta \varepsilon}{\varepsilon} \Big|_{\eta_T} \sim \delta \frac{1}{J^8 \omega^7 \sin \eta_T}. \quad (5)$$

Произведение  $J\omega$  для возмущений, имеющих в "наш" момент  $t_0 = 10^{10}$  лет размеры  $L_0$  и в момент  $\tau$  размеры  $L_0(\tau/t_0)^{2/3}$ , равно

$$J\omega = \frac{\tau}{L_0} \left( \frac{t_0}{\tau} \right)^{2/3} = 10^8$$

для  $L_0 = 10^9$  св. лет. Таким образом, формула (5) приводит к очень существенному затуханию возмущений.

4. Процессы с участием черных дыр. Как показал Хоукинг, черные дыры могут терять массу на излучение фотонов с длиной волны порядка гравитационного радиуса. Для тел с массой —  $M_0$  время полной потери массы исключительно велико и возрастает с увеличением массы:  $\tau_H \sim \sim 10^{62} \text{ лет} \cdot (M/M_0)^3$ . Все же на поздних стадиях эволюции Вселенной роль этого процесса, быть может, нельзя игнорировать.

Среди других процессов, характерных для поздних стадий, рассмотрим захват одной черной дыры другой. В [8] рассмотрен захват черной дырой тела малой массы, обусловленной гравитационным излучением. Распространяя приведенные в [8] формулы на случай двух черных дыр со сравнимыми массами  $M_1 \sim M_2$  и уточняя коэффициент (использовано [9]), имеем сечение процесса слияния

$$\sigma = A G^2 (M_1 + M_2)^{10/7} M_1^{2/7} M_2^{2/7} v^{-18/7}. \quad (6)$$

Здесь  $v$  — относительная скорость "на бесконечности",

$$A = 4\pi(85\pi/96)^{2/7} \approx 17.$$

При слиянии составная система приобретает дополнительный угловой импульс  $\sim GM_1 M_2$ , так что в среднем каждая черная дыра имеет угловой импульс

$\sim GM^2$ . После захвата черные дыры обращаются вокруг общего центра тяжести по сильно вытянутым эллипсам. Большая полуось первоначального эллипса  $a$  определяется прицельным параметром  $L$ . Минимальная потеря энергии  $\Delta_0$  на гравитационное излучение при захвате равна кинетической энергии относительного движения

$$\Delta_0 = \frac{M_1 M_2 v^2}{2(M_1 + M_2)}, \quad \sigma = \pi L_{\max}^2, \quad a_9 \rightarrow \infty.$$

При  $L = x^{1/7} L_{\max} (x < 1)$

$$\Delta = \frac{\Delta_0}{x}, \quad a_9 = \frac{G(M_1 + M_2)x}{v^2(1-x)}.$$

При дальнейших прохождении периастра энергия уменьшается на ту же величину  $\Delta$ , и полное время падения при  $v \ll 1$

$$t_1 = \frac{2\pi G(M_1 + M_2)}{v^3} x^{3/2} \zeta\left(\frac{3}{2}, 1-x\right),$$

$$\zeta\left(\frac{3}{2}, 1-x\right) = \sum_1^{\infty} \frac{1}{(n-x)^{3/2}} \approx \frac{1}{(1-x)^{3/2}} + 1,612 + \frac{x(1+x)}{2};$$

$t_1 \rightarrow \infty$  при  $x \rightarrow 1$ .

Рассмотрим на поздней стадии Вселенной газ черных дыр. Для оценки роли процесса слияния введем средние величины:  $M$  — средняя масса черной дыры,  $v$  — средняя относительная скорость. Пусть  $\Sigma$  — общая масса черных дыр в объеме  $a^3$ ,  $N$  — общее число черных дыр в объеме  $a^3$ . Полагаем

$$v = v_0(a_0/a)(N/N_0)^\alpha.$$

Множитель  $a_0/a$  соответствует красному смещению. Множитель  $(N/N_0)^\alpha$  описывает изменение средней скорости при слиянии. Для оценки примем  $\alpha \approx 1/3$ . Суммарная масса  $\Sigma$  изменяется в результате испарения Хоукинга, гравитационного излучения при слиянии черных дыр и процессов взаимодействия с газом и частицами в пространстве между дырами (последними мы тут пренебрежем):

$$\frac{1}{\Sigma} \frac{d\Sigma}{dt} = -\frac{1}{3\tau_0} \left(\frac{M_0}{M}\right)^3 + \beta \frac{1}{N} \frac{dN}{dt}.$$

С использованием оценок Зельдовича, Новикова [8] примем  $\beta \approx 0,03$  — 0,01. Пренебрегая образованием скопления черных дыр, вызванным гравитационной неустойчивостью при  $H \neq \text{const}$ , имеем изменение  $N$  в результате слияния:

$$dN/dt = -N^2 \sigma v x^{2/7} / 2a^3. \quad (7)$$

Введенный в (7) фактор  $x^{2/7}$  приближенно учитывает ограничения на прицельный параметр  $L$ . В частности, время падения друг на друга захваченных на эллиптические орбиты черных дыр  $t_1$  не должно превосходить характерного времени захвата

$$t_2 = 2a^3/\sigma v N x^{2/7} > t_1.$$

Отсюда всегда  $x < 1$ . Если

$$0,13v^{32/21}l/GM \gg 1$$

(здесь  $l = a/N^{1/3}$ ), то  $1 - x \ll 1$ . В противоположном случае  $x \ll 1$ .

Положим в (7)  $x = 1$ . Пренебрежем также процессом Хокинга. Находим, с некоторым округлением показателей:

$$\left(\frac{M_0}{M}\right)^{1/2} = 1 - C \int_1^y dy \left(\frac{a_0}{a}\right)^{10/7}; \quad (8)$$

$$y = t/t_0, \quad C = N_0 \sigma_0 v_0 t_0 / 4a_0^3.$$

Из (8) следует, что если  $C > C_k$ , где

$$C_k^{-1} = \int_1^\infty dy \left(\frac{a_0}{a}\right)^{10/7},$$

то за некоторое конечное время происходит образование черных дыр бесконечно больших масс. В случае  $a = a_0 t/t_0$  величина  $C_k = 3/7$ , при  $a = a_0 (t/t_0)^{2/3}$  имеем  $C_k = 0$ . В первом случае образование скоплений не происходит, во втором оно только усиливает результат. Уравнение (7) при  $x \ll 1$  мы здесь исследовать не будем.

**5. Заключение.** Образование и слияние черных дыр может существенно нарушить однородность и изотропию наблюдаемой Вселенной. По-видимому, сейчас проявлений этого не наблюдается. Возможно, это означает, что многолистные модели вообще не имеют отношения к действительности. Но не исключены и другие точки зрения. Можно предположить, что образование черных дыр сильно подавлено (или вообще не происходит; последнее требует, однако, отказа от основных положений ОТО, что автор считает исключенным). Возможно также, что отсутствие черных дыр на предыдущем цикле есть по каким-то причинам особенность именно этого цикла. Можно представить себе, например, что при образовании черных дыр в каком-то цикле однородность и изотропия нарушаются настолько, что в последующие смены циклов не происходит возобновления барионов и за один или несколько циклов барионы распадаются, неоднородности выравниваются, как описано в п. 3; или же релятивистские частицы возникают при взрывах белых дыр. И тогда после нескольких "непокойных" циклов имеет место аномально спокойный, а именно, предыдущий к нашему. Такая смена спокойных и беспокойных циклов может повторяться бесконечное число раз.

Большинство исследователей считает, что средняя плотность вещества во Вселенной значительно меньше критической. Если это так, то это свидетельствует в пользу модели III и сравнительно раннего цикла. При этом отсутствие больших нарушений однородности могло бы быть следствием именно того, что в ранних циклах нет сильного сгущивания, а образовавшиеся на предыдущем цикле отдельные черные дыры (например, в ядрах галактик) успели испариться по Хокингу, или просто их мало и они имеют не очень большие массы.

#### ПРИМЕЧАНИЯ

Доктор Филипп Хандлер, Президент Национальной Академии наук США, активно выступал в защиту А.Д. Сахарова, за что неоднократно подвергался нападкам в советской прессе, скончался в декабре 1981 г. (*Примеч. ред.*)

<sup>2</sup> Здесь  $\tilde{n} = \epsilon/\tilde{p}$  — число части продуктов распада в единице объема;  $\tilde{p} \sim 0,3 \text{ ГэВ} \sim 1,5 \cdot 10^{13} \text{ см}^{-1}$  — их средняя энергия или импульс;  $\epsilon = 1/6\pi G\tau^2 \sim 2 \cdot 10^{-34} \text{ см}^{-4}$  — плотность энергии в момент распада. Здесь и ниже при оценках принимаем время распада барионов  $\tau \sim 10^{31}$  лет.

#### СПИСОК ЛИТЕРАТУРЫ

1. Зельдович Я.Б., Новиков И.Д. Строение и эволюция Вселенной. — М.: Наука, 1975. — С. 699.
2. Сахаров А.Д.//Письма ЖЭТФ. 1967. Т. 5. С. 32.
3. Сахаров А.Д.//ЖЭТФ. 1980. Т. 79. С. 689.
4. Weinberg S.//Lectures on Particles and Fields/Eds. S. Deser, K. Ford. — New York, 1964.
5. Сахаров А.Д. Препринт ИПМ АН СССР № 7. — Москва, 1970.
6. Сахаров А.Д.//ЖЭТФ. 1979. Т. 76. С. 1179.
7. Weinberg S. Beyond the First Three Minutes//Phys. Scripta 1980. V. 21. P. 773.
8. Зельдович Я.Б., Новиков И.Д. Релятивистская астрофизика. — М.: Наука, 1967. — С. 89.
9. Peters P.S., Mathews J.//Phys. Rev. 1963. V. 131. P. 435.

Статья поступила 4.05.82 г.

524.88

### КОСМОЛОГИЧЕСКИЕ ПЕРЕХОДЫ С ИЗМЕНЕНИЕМ СИГНАТУРЫ МЕТРИКИ

АД. Сахаров

(Физический институт им. П.Н. Лебедева АН СССР)

(ЖЭТФ. 1984. Т. 87., вып. 2(8). С. 375 — 383)

Посвящается Люсе

Высказана гипотеза о существовании состояний физического континуума, включающих области с различной сигнатурой метрики, и о возникновении наблюдаемой Вселенной и бесконечного числа других Вселенных в результате квантовых переходов с изменением сигнатуры